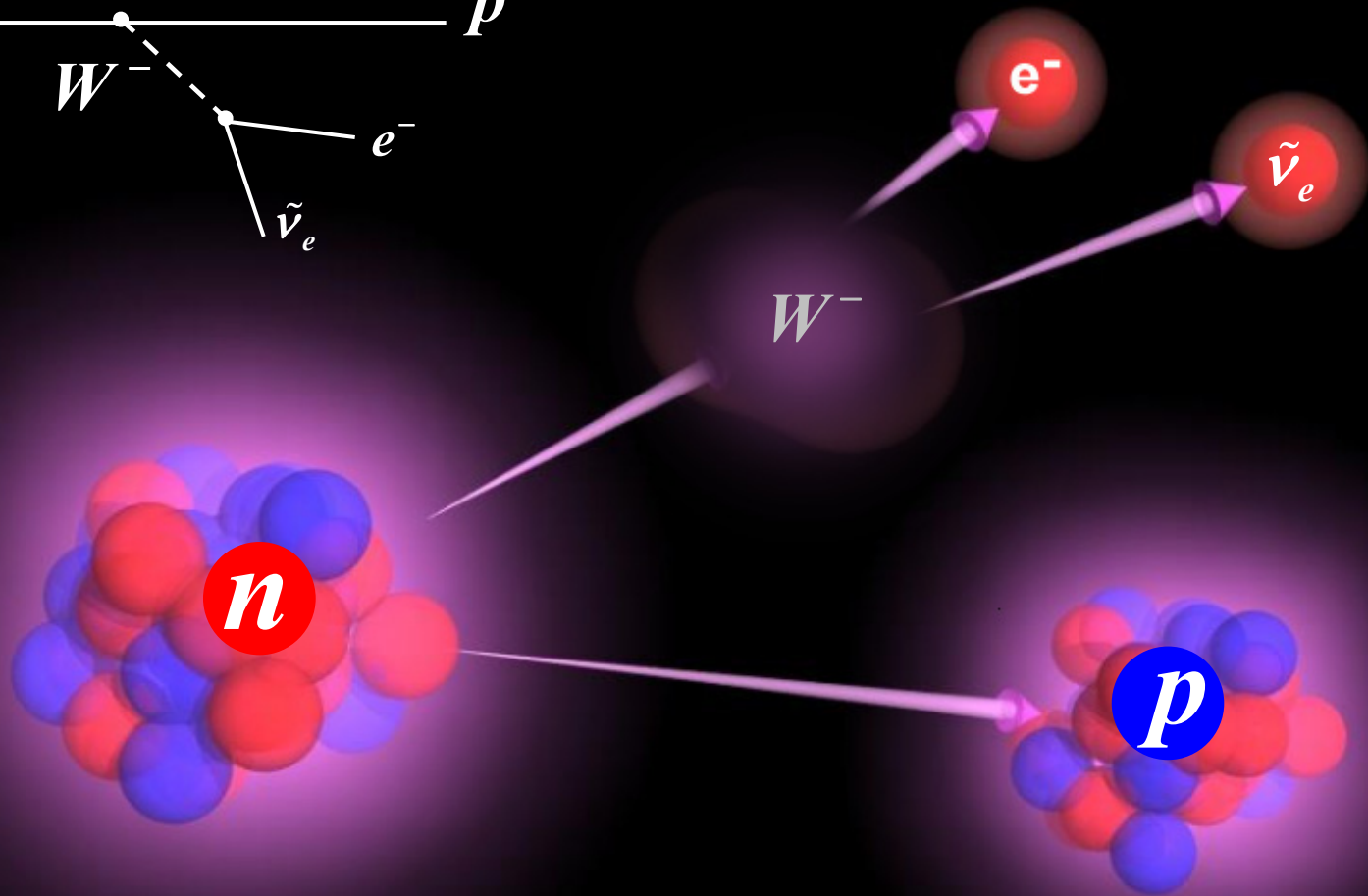
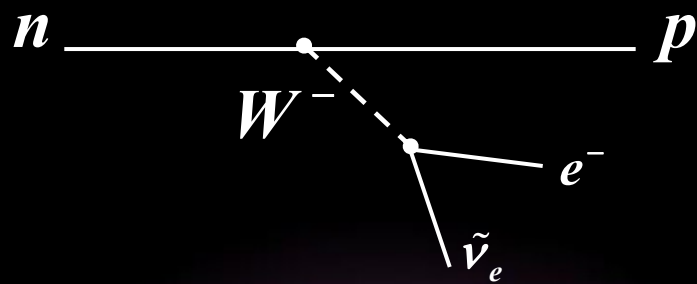
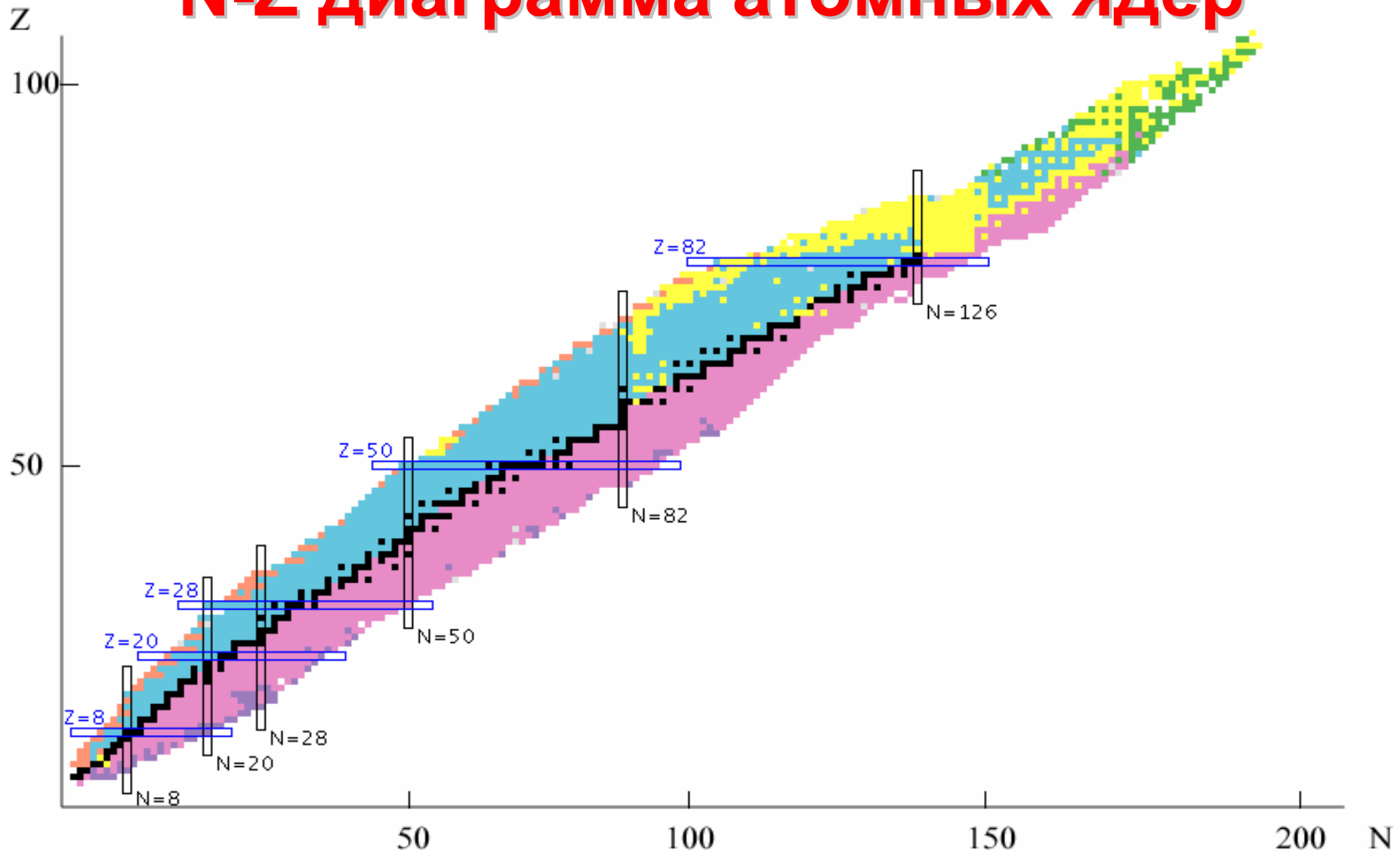


# Рождение и жизнь атомных ядер



# Структура атомных ядер

# N-Z диаграмма атомных ядер



Известно ~300 стабильных ядер и ~3500 радиоактивных ядер.  
Это только часть радиоактивных ядер. Всего их может быть ~7000.

# Атомное ядро – связанная система протонов и нейтронов

$(A, Z)$

**Z** – заряд ядра – число протонов в ядре.

**N** – число нейтронов в ядре

**A** – массовое число – суммарное число протонов и нейтронов в ядре.

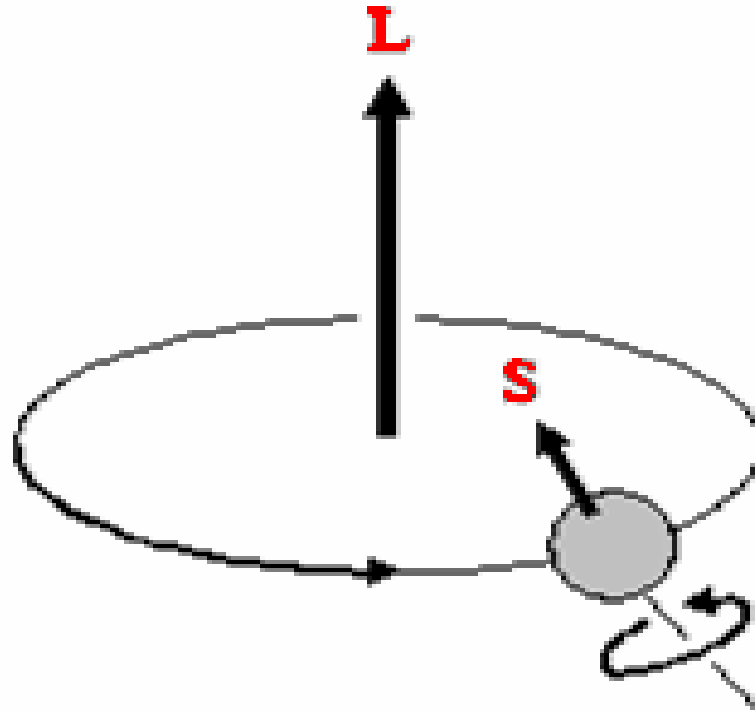
$$A = Z + N$$



# Характеристики протона, нейтрона и электрона

Характеристика	Протон	Нейтрон	Электрон
Масса $mc^2$ , МэВ	938.272	939.565	0.511
Электрический заряд (в единицах элементарного заряда)	+1	0	-1
Спин	1/2	1/2	1/2
Изоспин	1/2	1/2	
Проекция изоспина	+1/2	-1/2	
Чётность	+1	+1	
Статистика	Ферми-Дирака		
Магнитный момент (для нуклонов - в ядерных магнетонах, для электрона - в магнетонах Бора)	+2.79	-1.91	+1.001
Время жизни	$> 10^{32}$ лет	$885.7 \pm 0.8$ с	$> 4.6 \cdot 10^{26}$ лет
Тип распада		$n \rightarrow p + e^- + \bar{\nu}_e$	

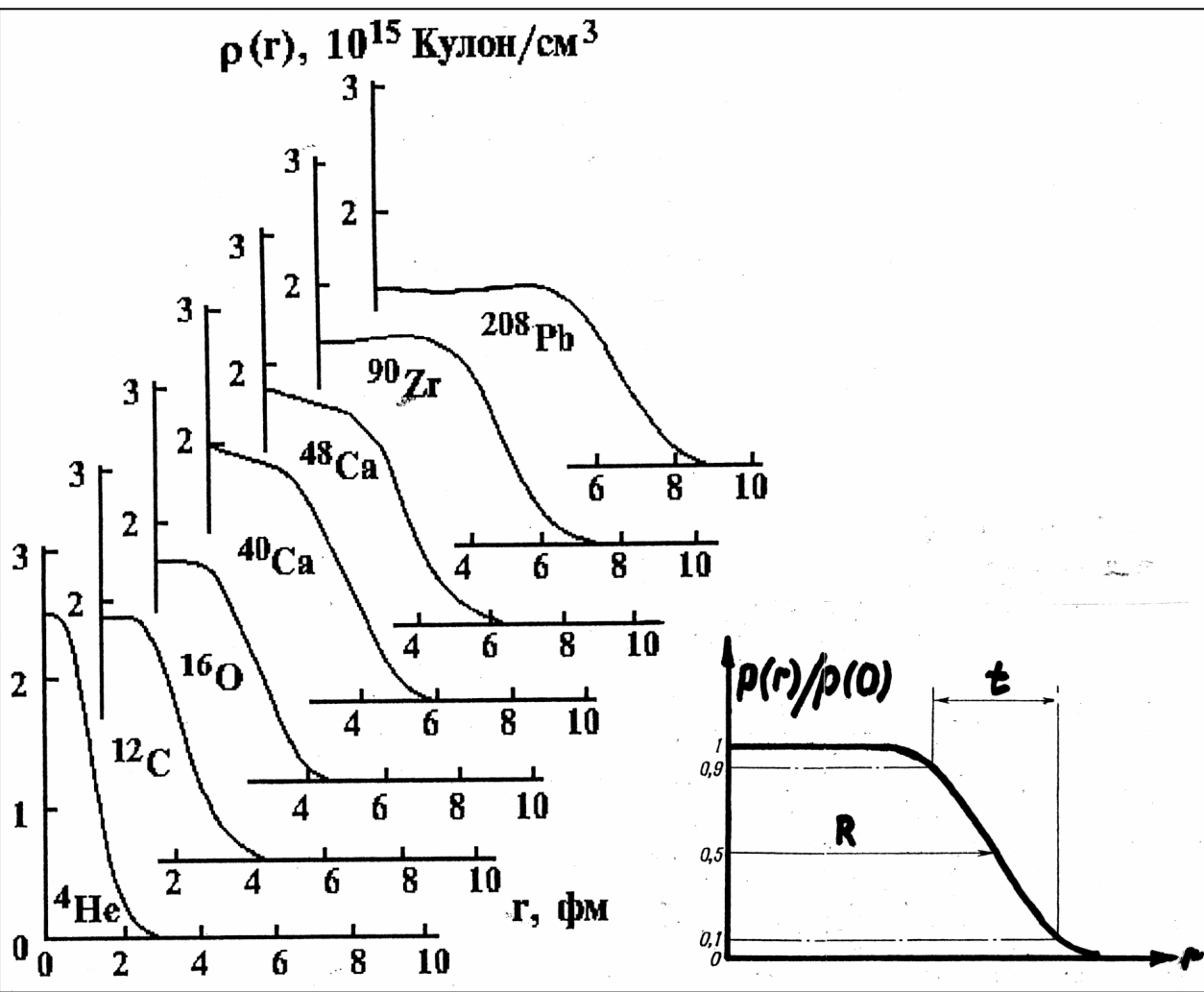
# Спиновый момент частицы



**Спин — собственный момент количества движения частицы.** Спин имеет квантовую природу и не связан с какими-либо перемещениями частицы в пространстве. Спин измеряется в единицах постоянной Планка и равен  $s$  — характерное для каждой частицы полуцелое или целое (включая нуль) положительное число  $S^2 = \hbar^2 s(s + 1)$

# Размер ядра

Радиальное распределение плотности заряда в различных ядрах



$$\rho(r) = \frac{\rho(0)}{1 + e^{\frac{r-R}{a}}}$$

$$R = 1.2 \cdot A^{1/3} \text{ Фм}$$

$$t = 4.4a = 2.5 \text{ Фм}$$

# Энергия связи ядра $W(A,Z)$

Энергия связи ядра  $W(A,Z)$  – минимальная энергия, которую необходимо затратить для того, чтобы разделить атомное ядро на отдельные составляющие его нейтроны и протоны.

$$\begin{aligned} M(A,Z)c^2 + W(A,Z) &= \\ &= Z \cdot m_p c^2 + (A - Z)m_n c^2 \end{aligned}$$



# Модели атомных ядер

# Энергия связи ядра $W(A,Z)$

Формула Бете-Вайцзеккера

$$W(A,Z) = \alpha A - \beta A^{2/3} - \gamma \frac{Z(Z-1)}{A^{1/3}} - \delta \frac{(A-2Z)^2}{A} + \zeta A^{-3/4}$$

$\alpha = 15.6$  МэВ,

$\beta = 17.2$  МэВ,

$\gamma = 0.72$  МэВ,

$\delta = 23.6$  МэВ.

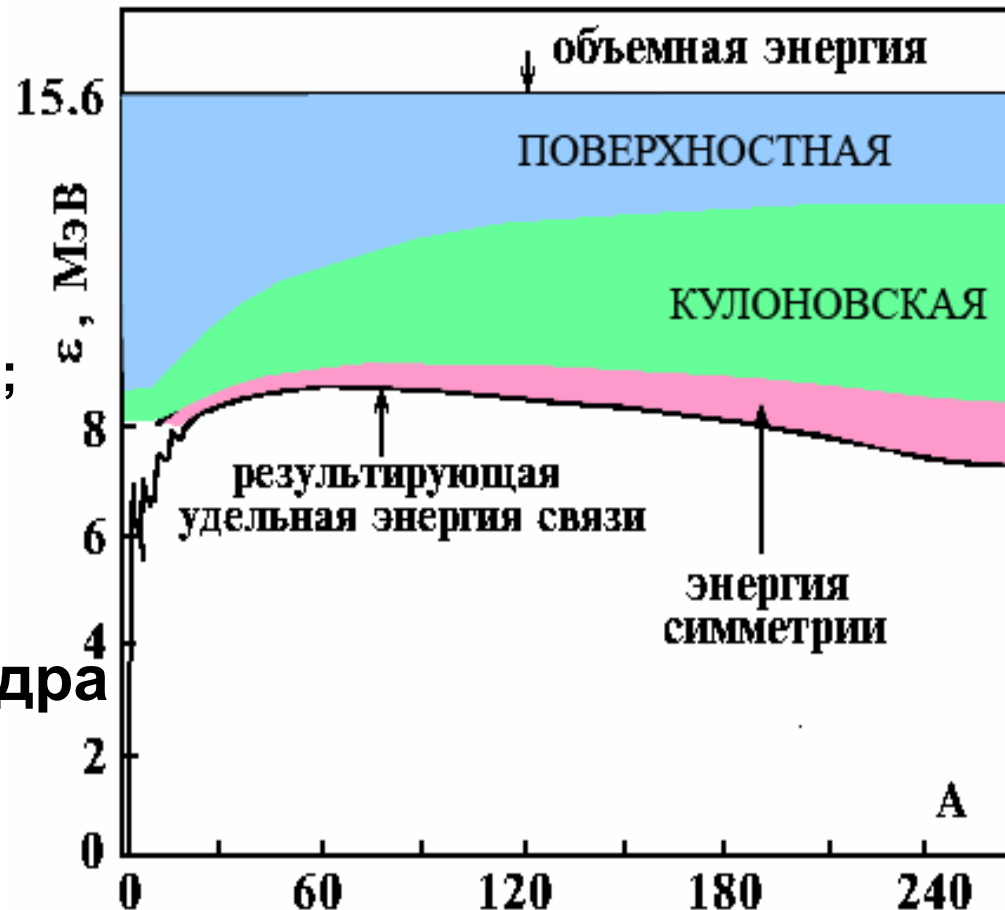
$\zeta = +34$  МэВ – чётно-чётные ядра;

$\zeta = 0$  – нечётные ядра;

$\zeta = -34$  МэВ – нечётно-нечётные ядра.

Удельная энергия связи ядра

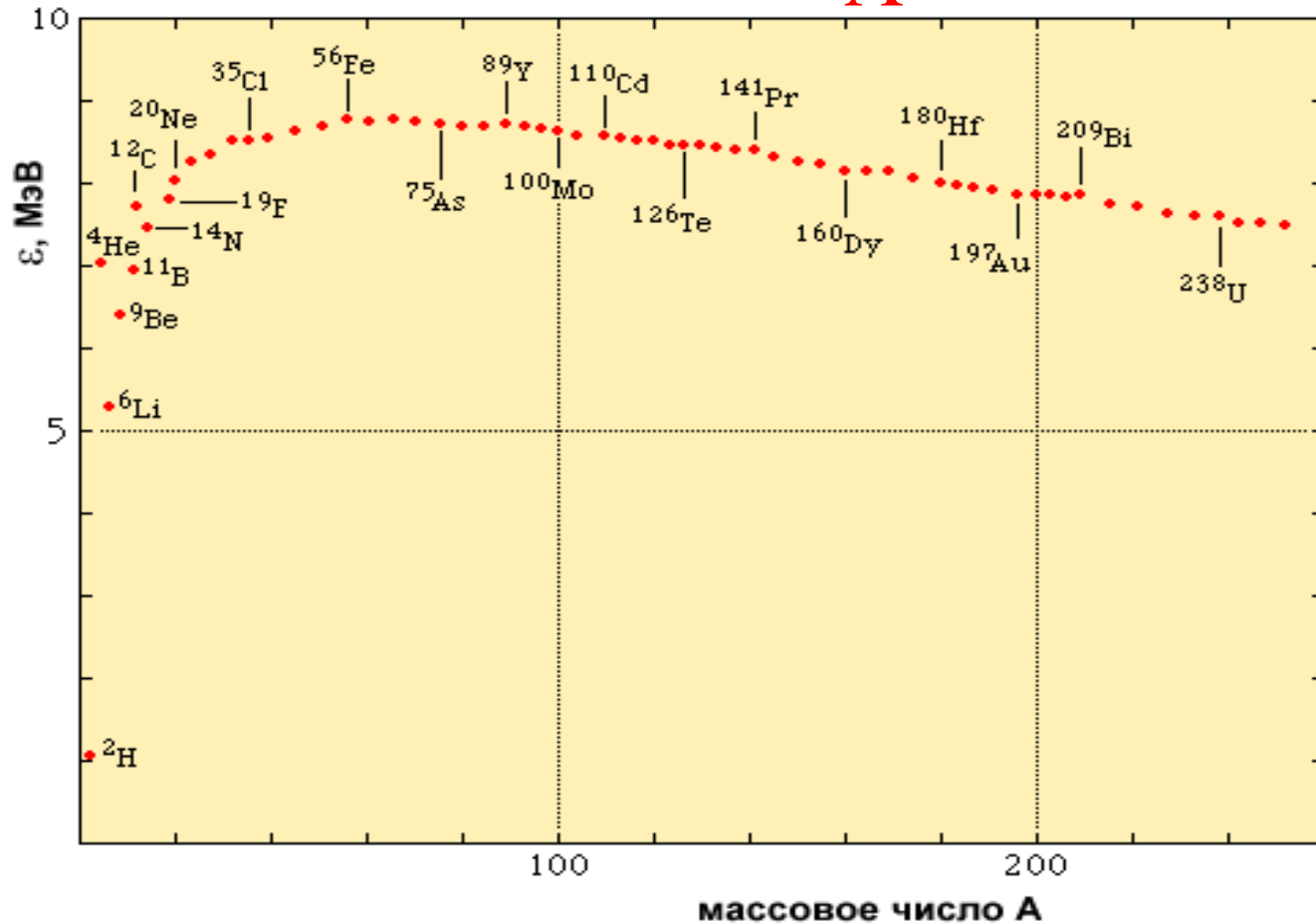
$$\varepsilon(A,Z) = \frac{W(A,Z)}{A}$$



# Удельная энергия связи ядра $\varepsilon(A, Z)$

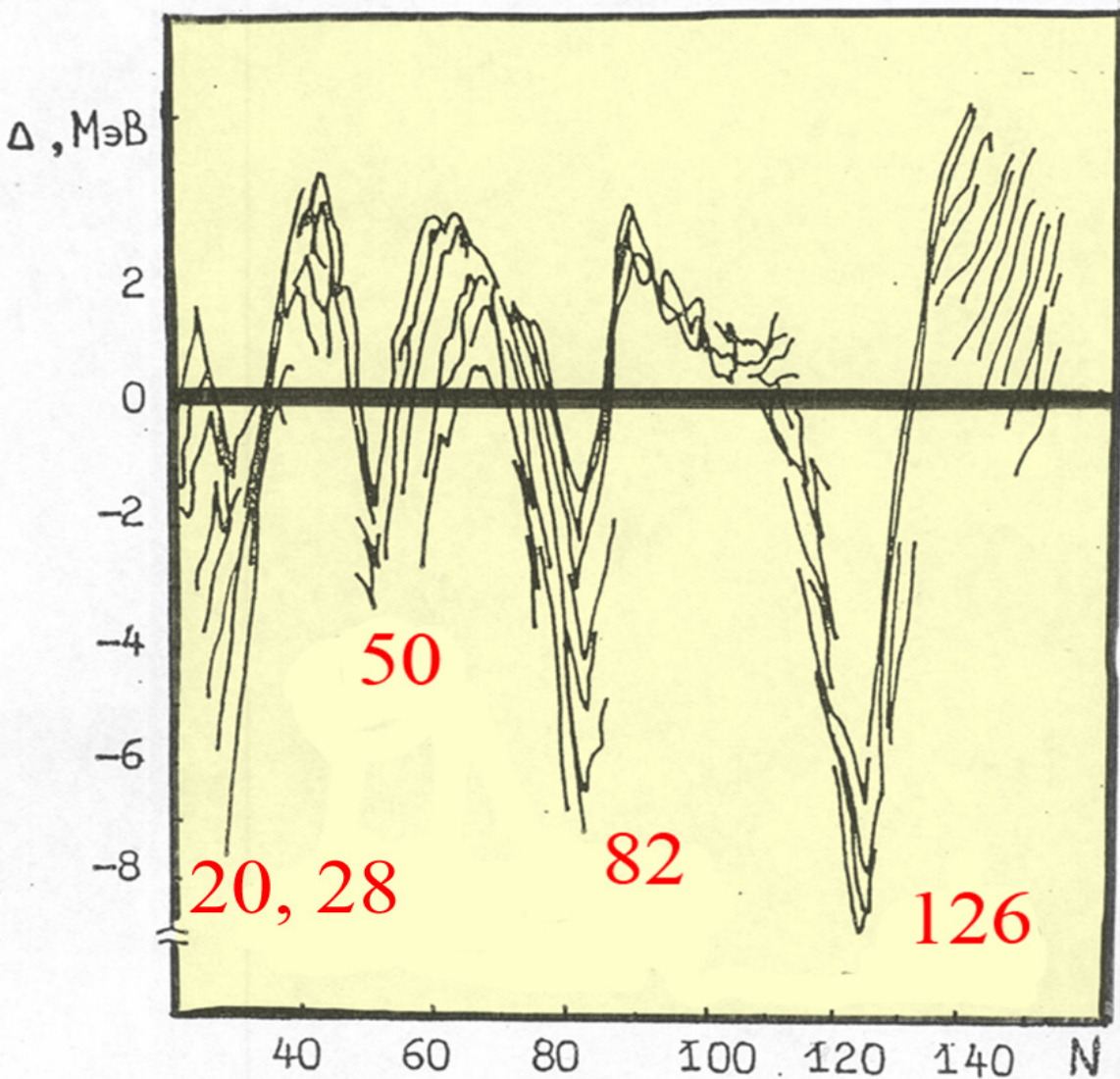
Удельная энергия связи ядра  $\varepsilon(A, Z)$  – средняя энергия связи, приходящаяся на один нуклон.

$$\varepsilon(A, Z) = \frac{W(A, Z)}{A}$$



Зависимость удельной энергии связи  $\varepsilon = W/A$  от массового числа

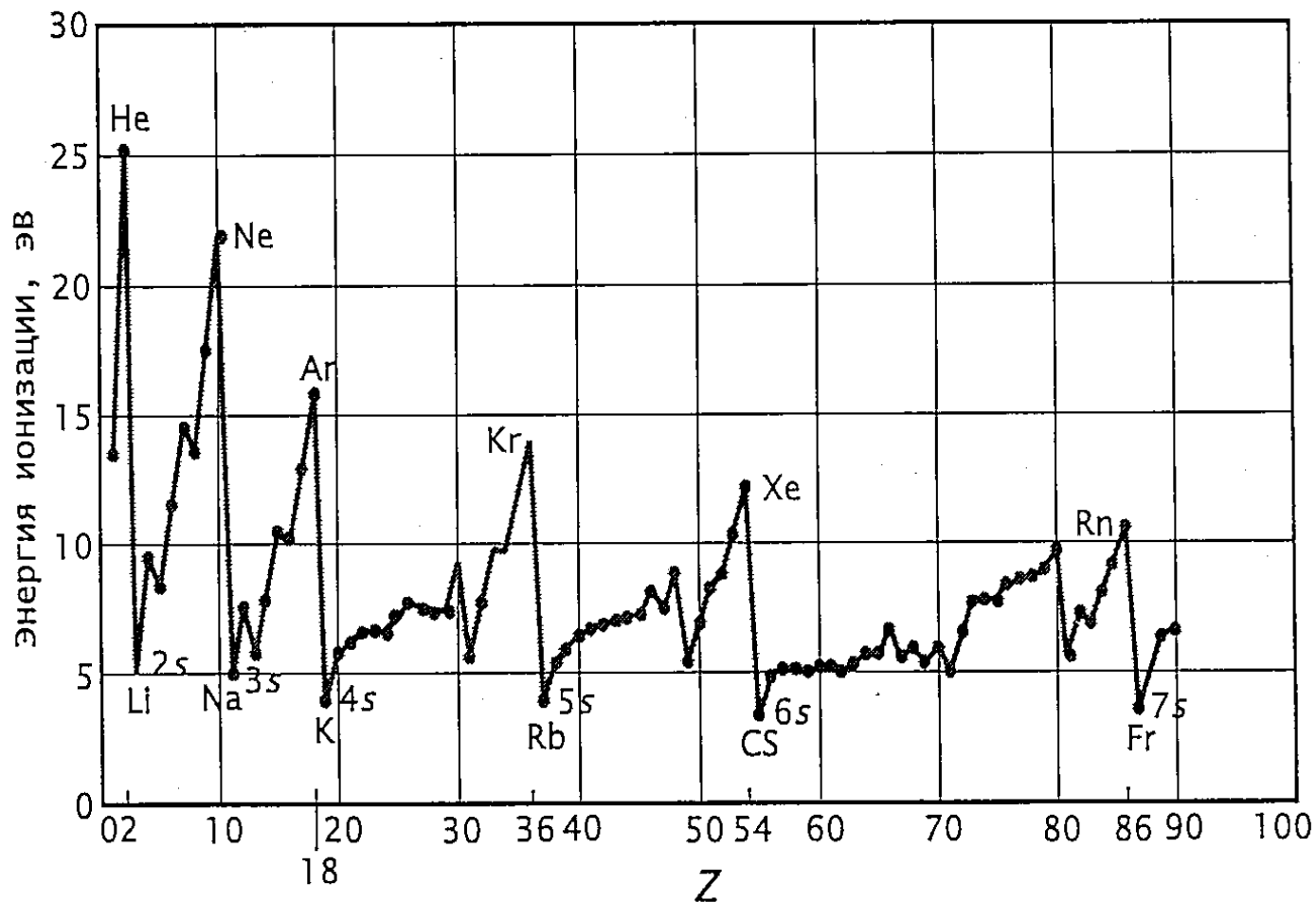
# Магические числа



**Магические числа**  
**2, 8, 20, 28, 50, 82, 126**

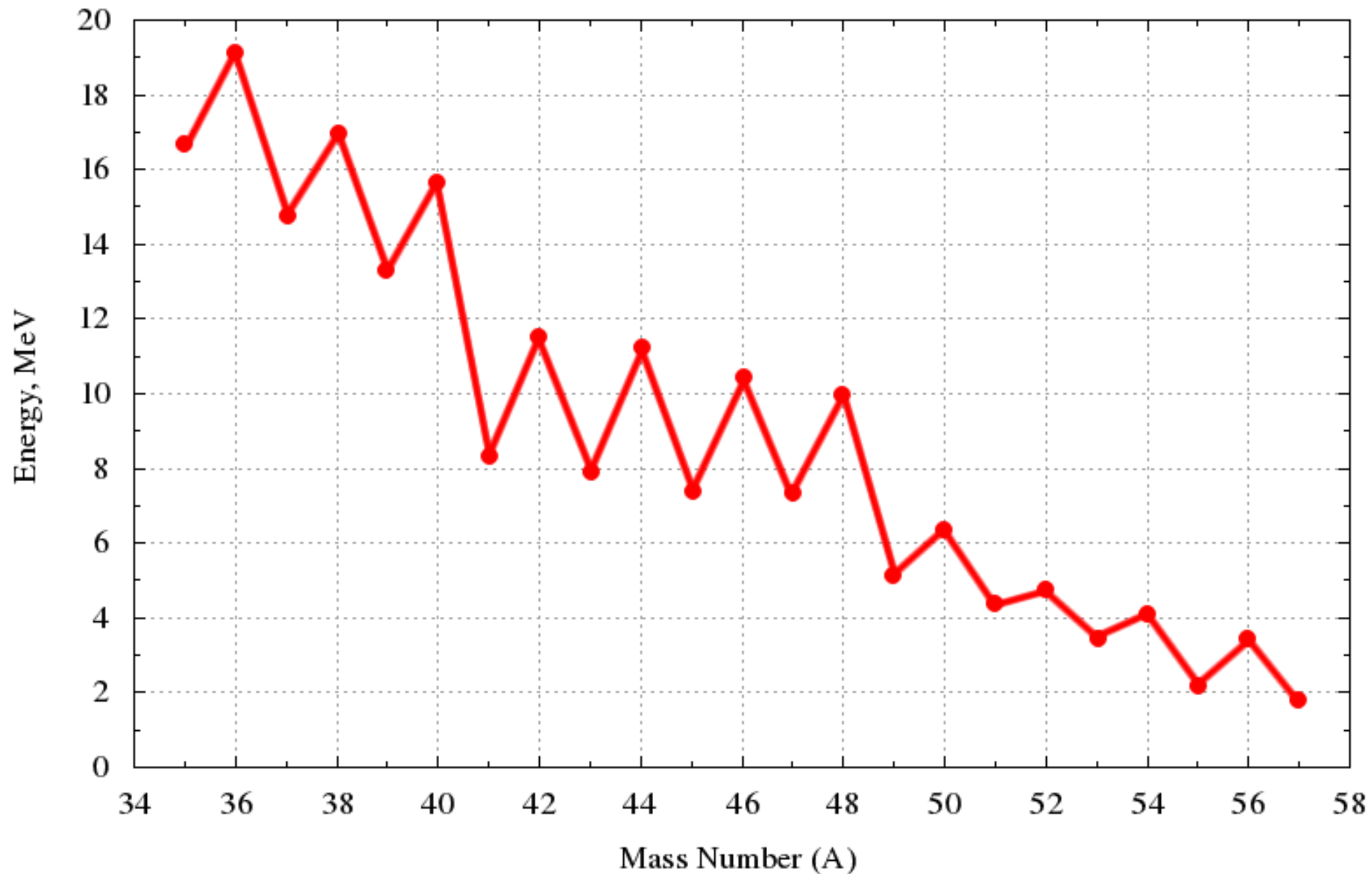
$\Delta$  – разница между экспериментально измеренной энергией связи ядра и результатами расчета по формуле Бете-Вайцзеккера.

# Потенциал ионизации атома



Зависимость первой энергии ионизации (она соответствует энергии связи в атоме самого удаленного электрона) от  $Z$  вплоть до  $Z = 90$ . Энергия возрастает с увеличением  $Z$ , пока оболочка не оказывается заполненной (что соответствует  $Z = 2, 10, 18, 36, 54$  и  $86$ ). Следующий электрон должен оказаться на более высокой оболочке (более удаленной от ядра), т. е. слабее связанным. Ионизационный потенциал (в В) численно равен энергии ионизации (в эВ).

# ИЗОТОПЫ Кальция



# Потенциал нуклон-нуклонного взаимодействия

$$\begin{aligned} V &= V_1(r) + V_2(r)(\vec{s}_1 \vec{s}_2) \\ &+ V_3(r)(\vec{s}_1 \vec{n})(\vec{s}_2 \vec{n}) \\ &+ V_4(r)(\vec{L} \vec{s}) \end{aligned}$$

Нуклон-нуклонное взаимодействие можно описать с помощью потенциала, зависящего от нескольких величин:

- расстояния между нуклонами,
- взаимной ориентации спинов нуклонов,
- нецентрального характера ядерных сил,
- величины спин-орбитального взаимодействия.

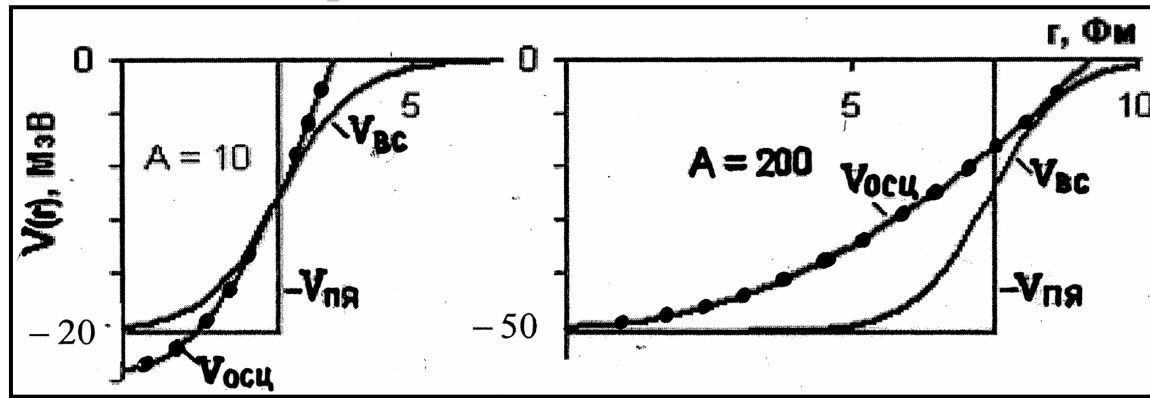
# 4 типа взаимодействий

- Сильное (ядерное)
- Электромагнитное
- Слабое
- Гравитационное

Кванты – переносчики взаимодействий  
 $g$ ,  $\gamma$ ,  $W_{\pm}$ ,  $Z$ . Гравитон?



# Ядерный потенциал



Прямоугольный потенциал  $V_{\text{пя}}$

$$V_{\text{пя}}(r) = \begin{cases} -V_0, & r \leq R, \\ 0, & r \geq R. \end{cases}$$

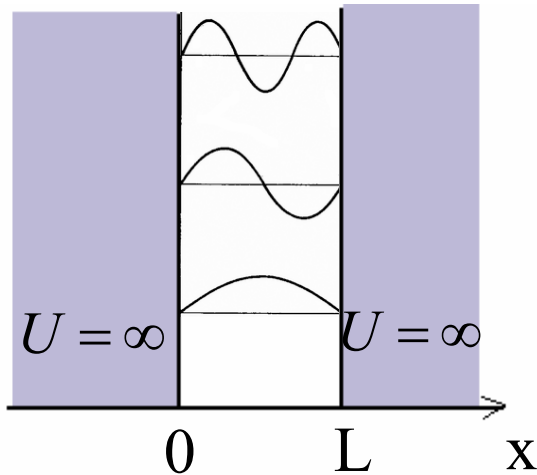
Осцилляторный потенциал  $V_{\text{осц}}$

$$V_{\text{осц}}(r) = -V_0 + \frac{1}{2}M\omega^2 r^2,$$

Потенциал Вудса-Саксона  $V_{\text{вс}}$

$$V_{\text{вс}}(r) = -\frac{V_0}{1 + e^{\frac{r-R}{a}}}.$$

# Бесконечная прямоугольная яма



$$\Delta\psi + \frac{2m}{\hbar^2}(E - U)\psi = 0$$

$$U(x) = \begin{cases} 0 & \text{при } 0 < x < L \\ \infty & \text{при } x \leq 0, x \geq L \end{cases}$$

Частица всегда находится в области  $0 \leq x \leq L$ . Вне этой области  $\psi = 0$ .  
Уравнение Шредингера для частицы, находящейся в области  $0 \leq x \leq L$ .

$$\frac{d^2\psi}{dx^2} = -\frac{2mE}{\hbar^2}\psi$$

Волновая функция имеет вид

$$\psi = A \sin kx + B \cos kx, \quad k = (2mE / \hbar^2)^{1/2}.$$

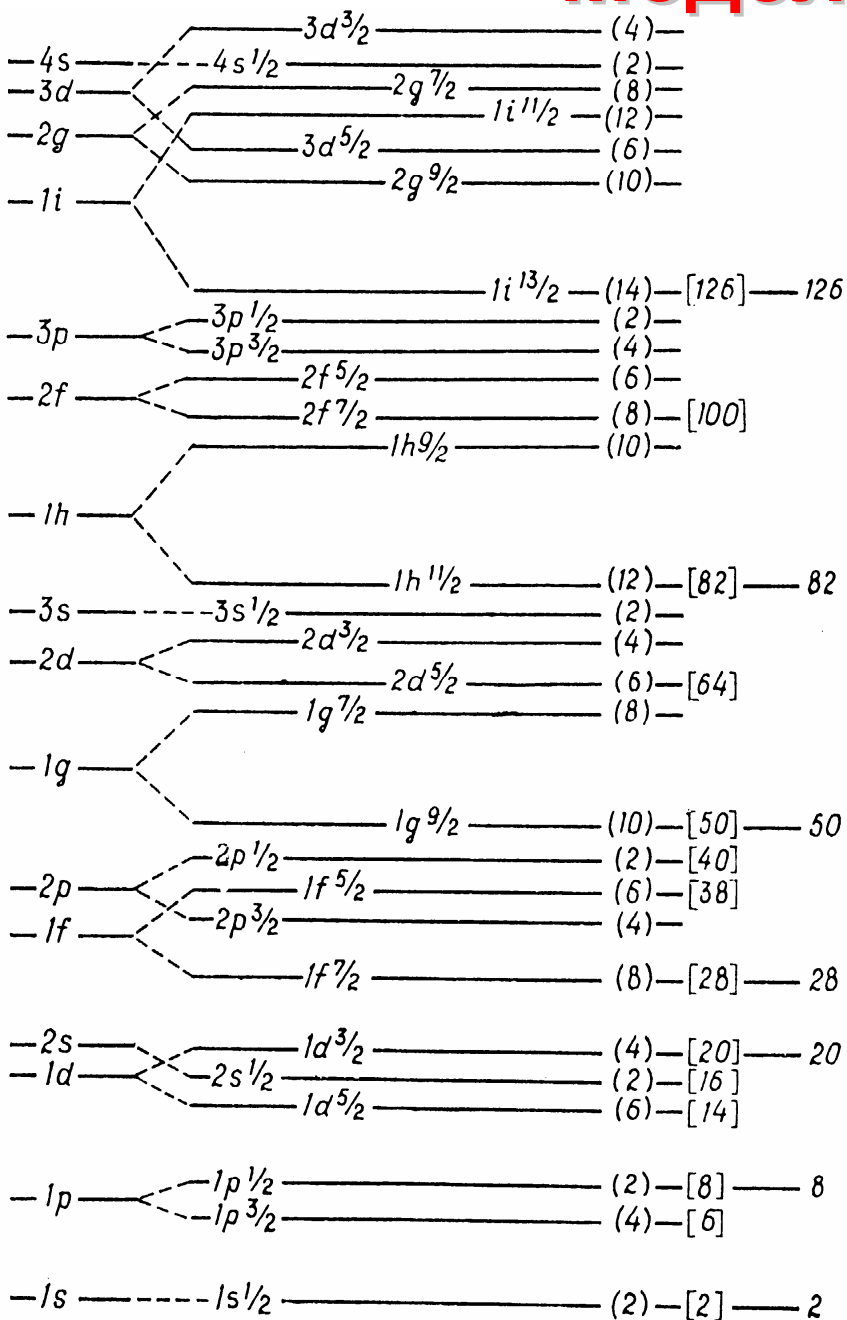
Из граничных условий  $\psi(0) = 0$ ,  $\psi(L) = 0$  и условий непрерывности волновой функции

$$B = 0, \quad A \sin kL = 0. \\ kL = n\pi, \quad n = 1, 2, 3, \dots,$$

т. е. внутри ямы устанавливаются стоячие волны, а энергия состояния частиц имеет дискретный спектр значений  $E_n$

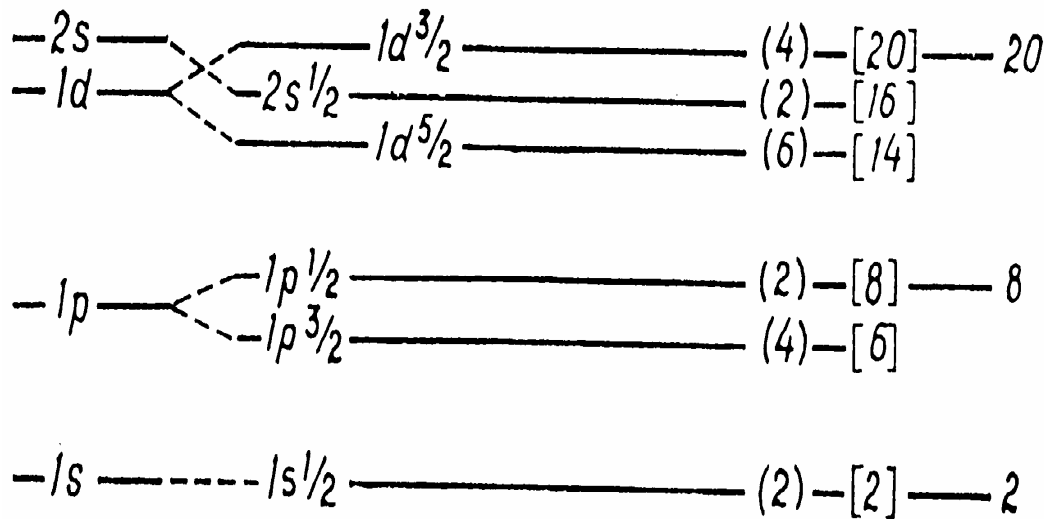
$$E_n = \frac{\hbar^2 k^2}{2m} = \frac{\hbar^2 \pi^2 n^2}{2mL^2}, \quad \psi_n(x) = \sqrt{\frac{2}{L}} \sin\left(\frac{\pi nx}{L}\right)$$

# Модель оболочек



Одночастичные уровни  
в сферически-симметричном  
потенциале.

$$|nlj j_z\rangle$$



# Модель оболочек

## Квантовые числа нуклонов

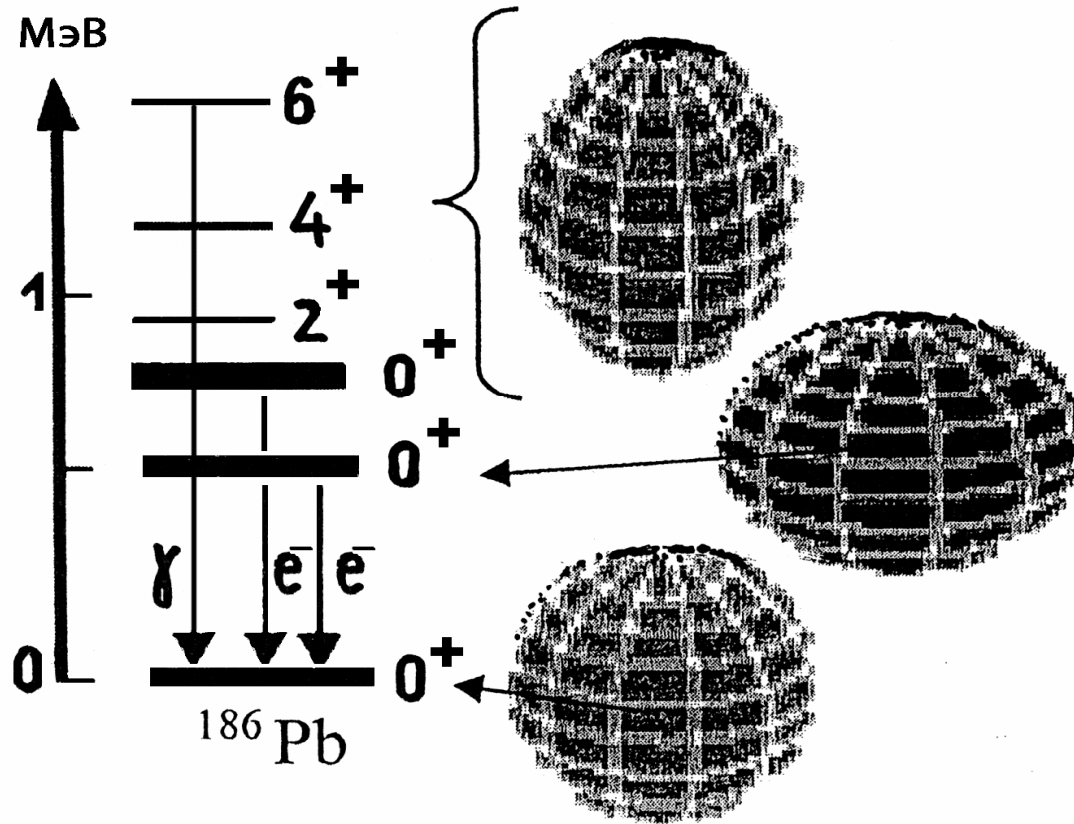
$n$  — главное квантовое число

$\vec{l}$  — орбитальный момент нуклона

$\vec{j} = \vec{l} + \vec{s}$  — полный момент количества движения

$j_z$  — проекция полного момента количества движения

# Форма ядра



Форма атомных ядер может изменяться в зависимости от того в каком возбужденном состоянии оно находится. Так, например, ядро  $^{186}\text{Pb}$  в основном состоянии ( $0^+$ ) сферически симметрично, в первом возбужденном состоянии  $0^+$  имеет форму сплюснутого эллипса, а в состояниях  $0^+$ ,  $2^+$ ,  $4^+$ ,  $6^+$  форму вытянутого эллипсоида.

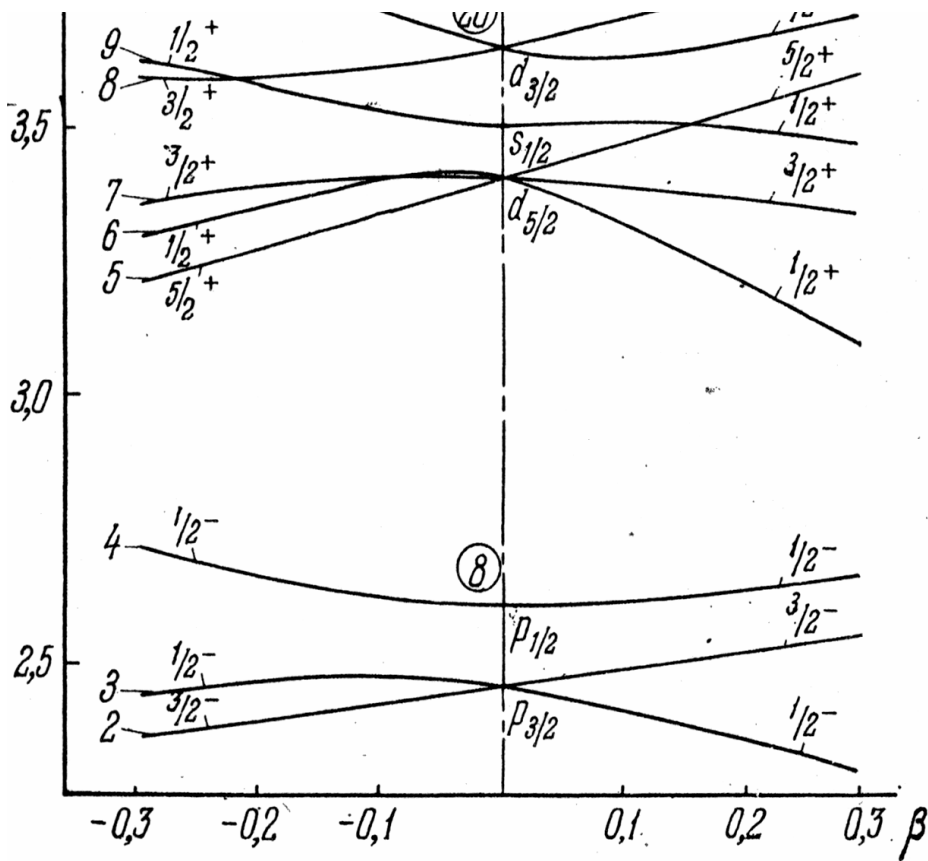
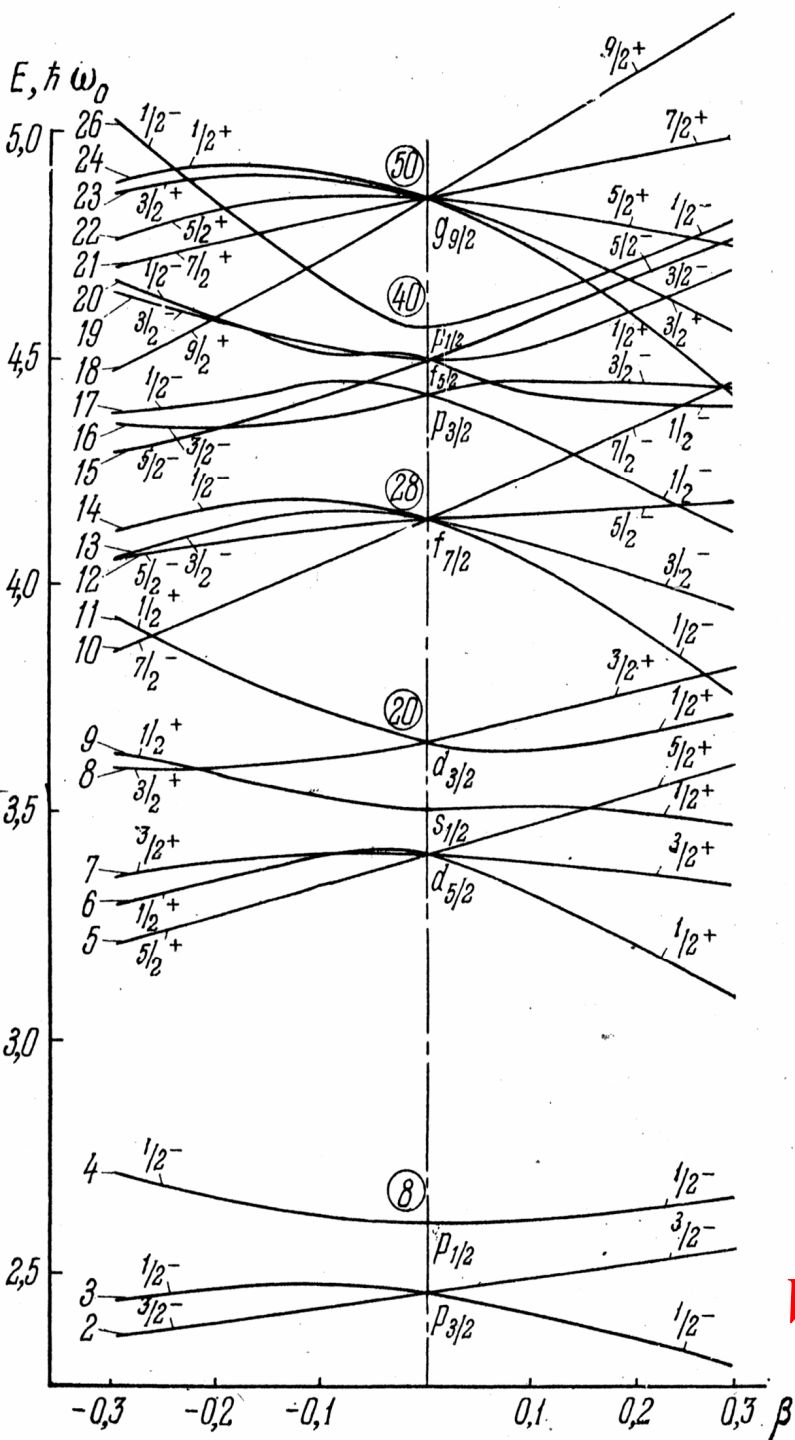
# Квадрупольные моменты ядер



Наблюдаемые квадрупольные моменты ядер  $Q$

$$Q = \frac{J(2J-1)}{(J+1) \cdot (2J+3)} Q_0$$

# Одночастичные состояния в деформированных ядрах



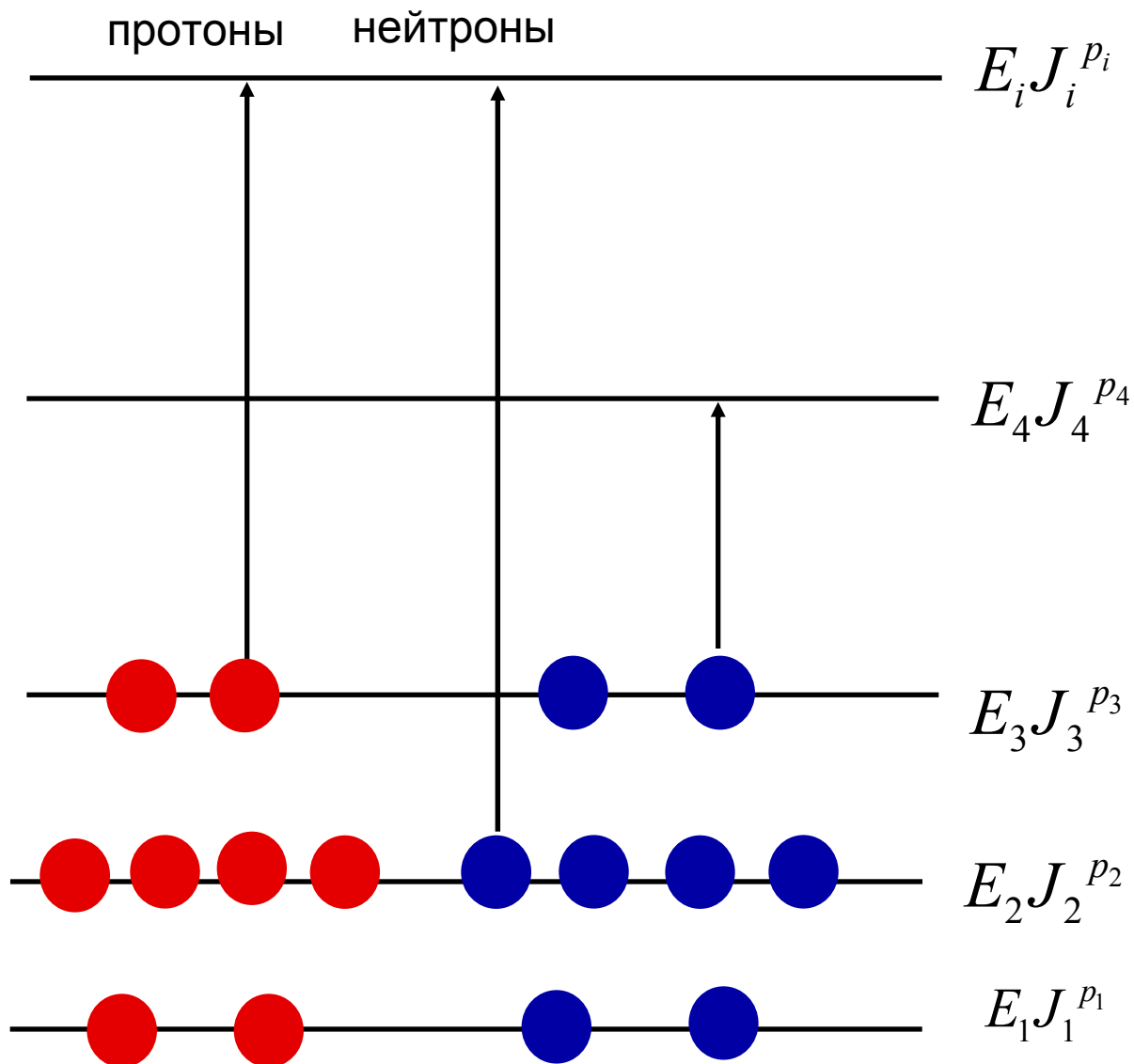
Потенциал Нильсона

$$V_{\text{Нильс}}(\vec{r}) = \frac{1}{2} M(\omega_{xy}^2 (x^2 + y^2) + \omega_z^2 z^2) + C\vec{l}\vec{s} + D\vec{l}^2$$

# **Возбужденные состояния атомных ядер**



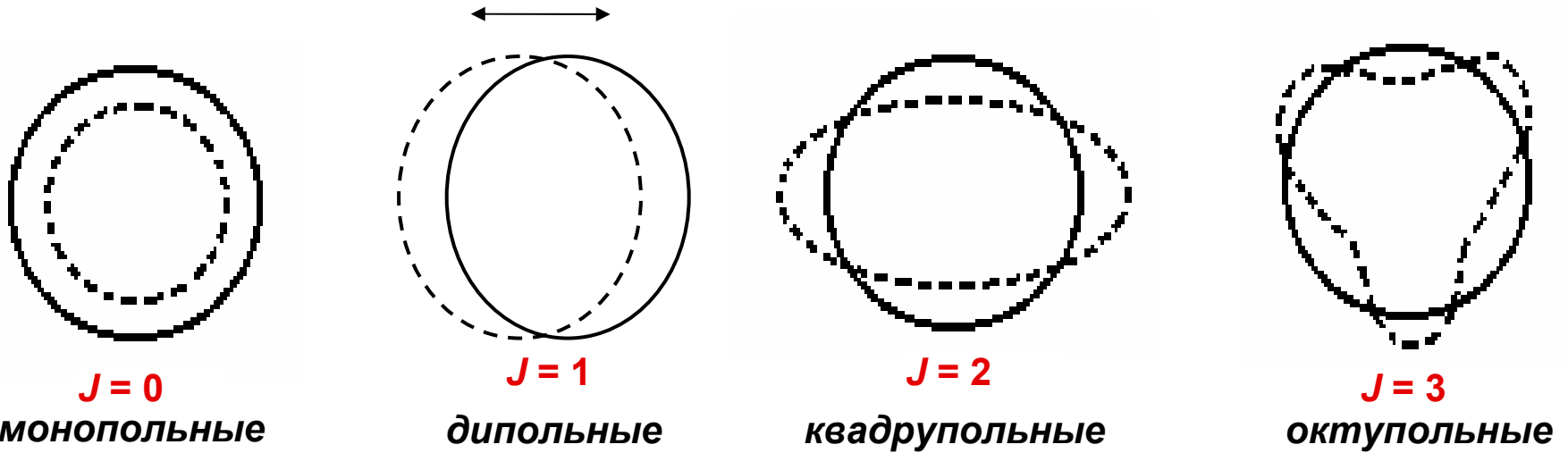
# Одночастичные возбуждения атомных ядер



Одночастичные возбуждённые состояния ядер возникают при переходе одного или нескольких нуклонов на более высокие одночастичные орбиты.

**Коллективные колебательные  
и вращательные  
возбужденные состояния  
атомных ядер**

# Колебательные состояния сферических ядер



Дипольные колебания  $J=1$  не относятся к внутренним возбуждениям ядра. Энергии квадрупольных и октупольных возбуждений в квантовой теории могут принимать дискретные значения

$$E_{\text{квадр}} = n_2 \hbar \omega_2, \quad E_{\text{окт}} = n_3 \hbar \omega_3,$$

Энергия возбуждения ядра, в котором одновременно происходят различные поверхностные колебания формы, имеет вид

$$E = \sum_{J \geq 2} n_J \hbar \omega_J$$

$n_J$  – число фононов определенного типа,

$\hbar \omega_J$  – энергия фонона.

# Вращательные состояния деформированных ядер

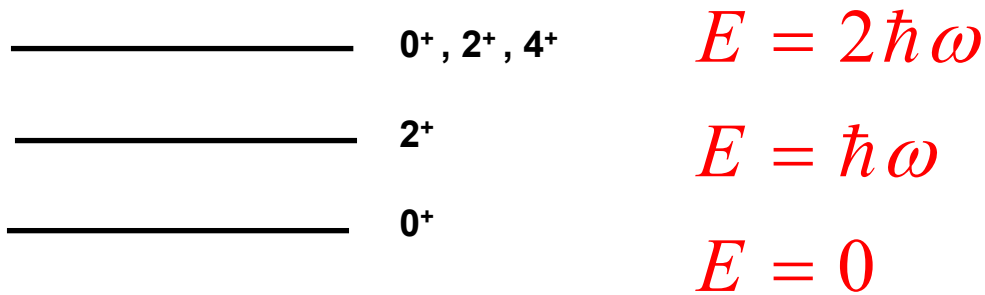
$$E_{\text{класс}} = \frac{L^2}{2\mathfrak{I}}, \quad E_{\text{вращ}} = \frac{\hbar^2}{2\mathfrak{I}} J(J+1)$$

$L$  — вращательный момент,  $\mathfrak{I}$  — момент инерции ядра.

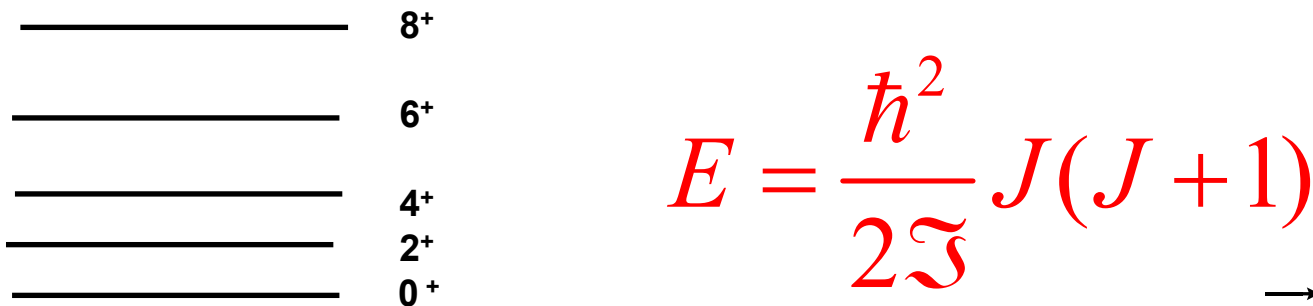
Волновой функцией вращающегося ядра является собственная функция оператора квадрата полного момента  $\hat{J}^2$ , имеющего собственные значения  $\hbar^2 J(J+1)$ , т.е. сферическая функция  $Y_{JM}(\theta, \varphi)$ . Волновая функция ядра, имеющего форму аксиально-симметричного эллипсоида, не изменяется при пространственной инверсии, т. е. переходит сама в себя. Поэтому волновая функция ядра, имеющего форму эллипсоида симметрична, что исключает состояния с  $J = 1, 3, 5, \dots$ . Чётность  $P$  сферической функции равна  $(-1)^J$ . Поэтому чётность вращательных состояний четно-четного ядра всегда положительна.

# Возбужденные состояния 2<sup>+</sup>

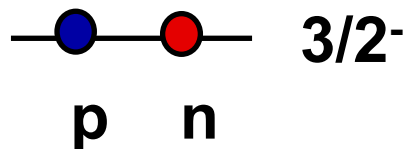
## 1. Квадрупольные колебания сферического ядра



## 2. Вращение деформированного ядра



## 3. Одночастичные возбуждения

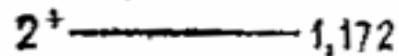
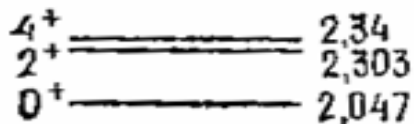
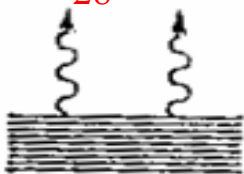


$$\vec{J} = \frac{\vec{3}}{2} + \frac{\vec{3}}{2} = 0, 1, 2, 3$$

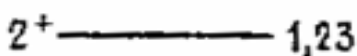
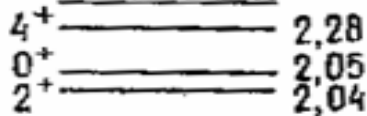
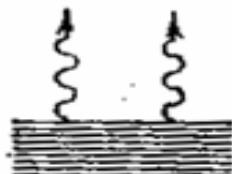
$$P = (-1)(-1) = +1$$

# Пример. Возбужденные состояния $2^+$

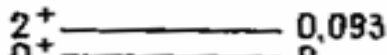
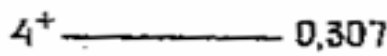
$^{62}_{28}\text{Ni}$



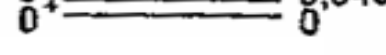
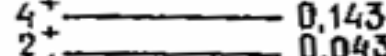
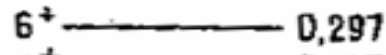
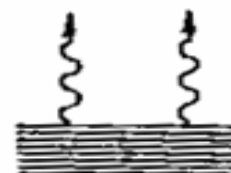
$^{118}_{50}\text{Sn}$



$^{178}_{82}\text{Hf}$



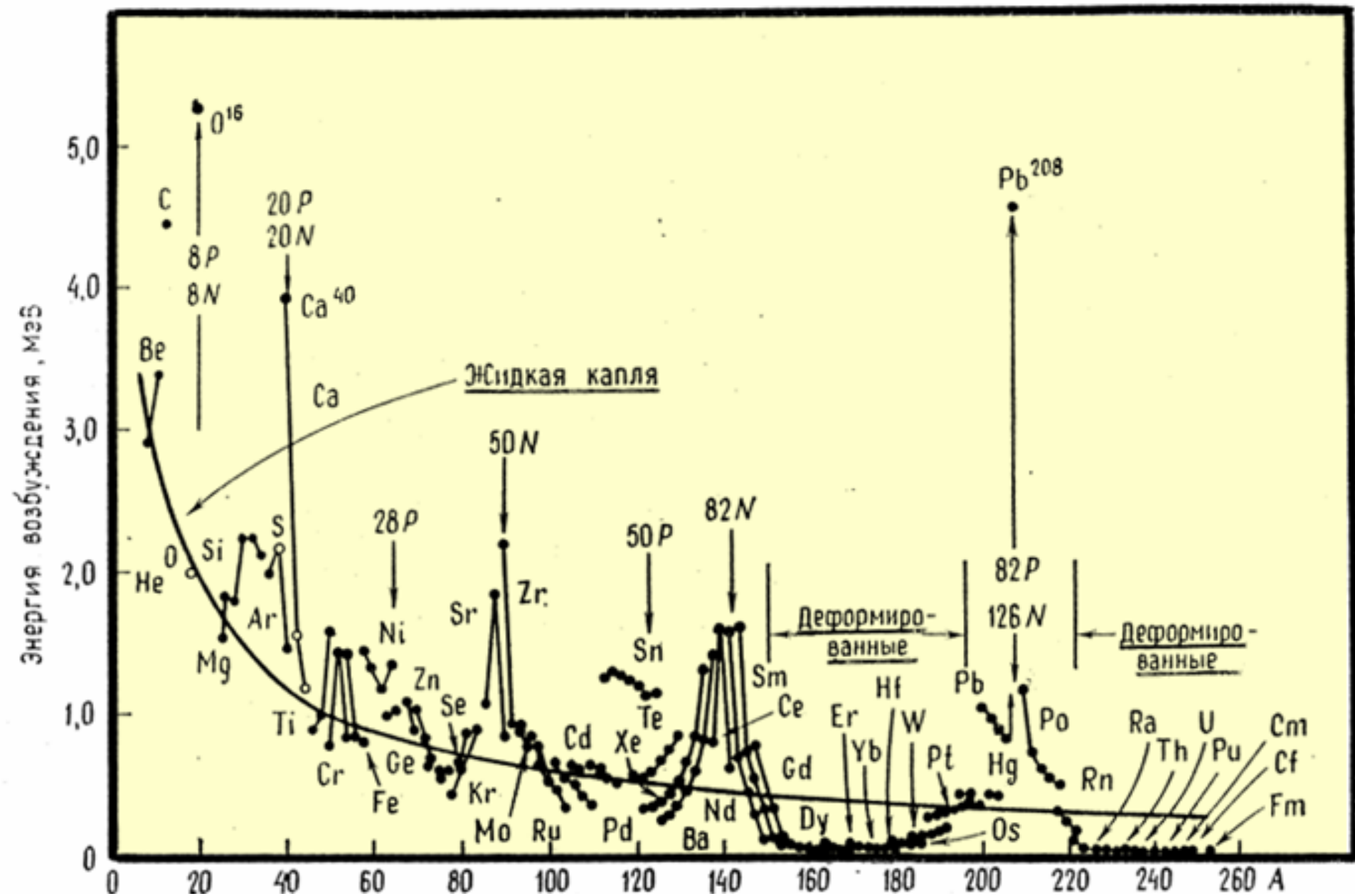
$^{234}_{92}\text{U}$



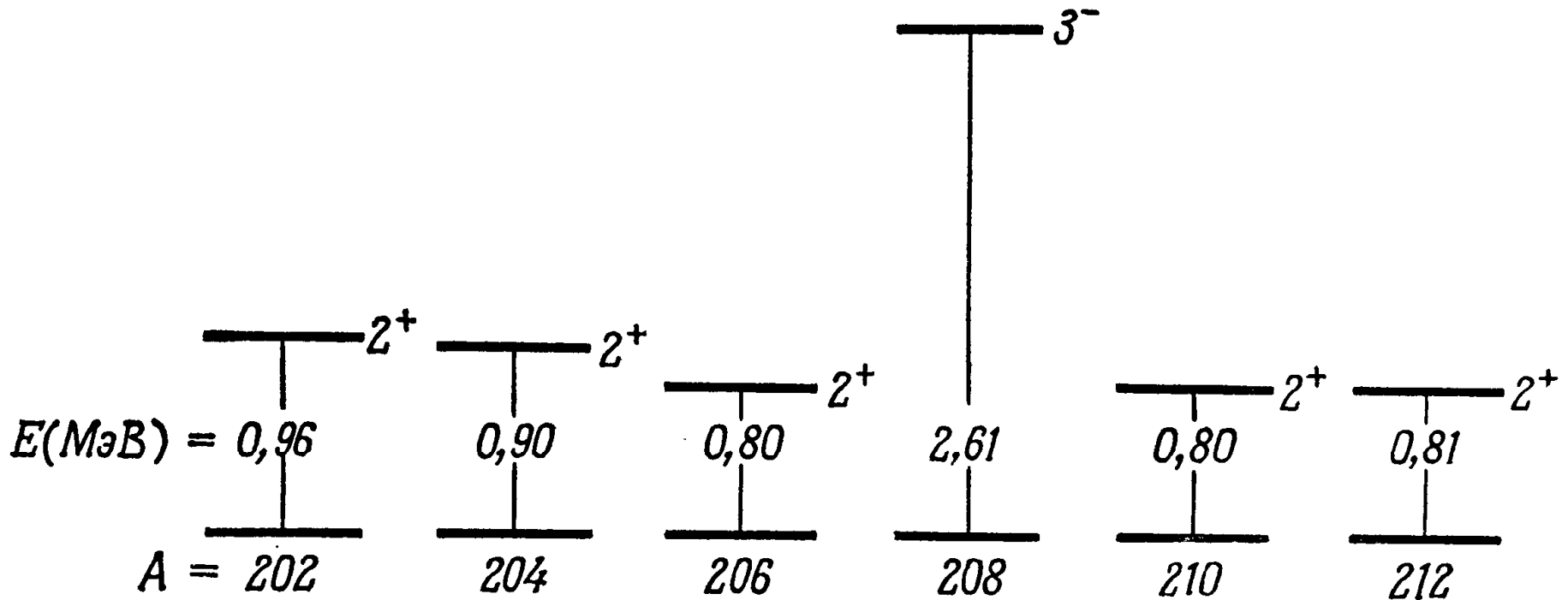
Колебательные состояния чётно-чётных сферических атомных ядер

Вращательные состояния деформированных чётно-чётных атомных ядер

# Возбужденные состояния $2^+$



# ИЗОТОПЫ СВИНЦА



Основные и первые возбужденные состояния изотопов свинца с четным числом нуклонов в ядре A



# Корпускулярные и волновые свойства частиц.

## Принцип неопределенности

Экспериментальное подтверждение идеи корпускулярно-волнового дуализма привело к пересмотру привычных представлений о движении частиц и способе описания частиц. Для классических материальных точек характерно движение по определенным траекториям, так, что их координаты и импульсы в любой момент времени точно известны. Для квантовых частиц это утверждение неприемлемо, так как для квантовой частицы импульс частицы связан с ее длиной волны, а говорить о длине волны в данной точке пространства бессмысленно. Поэтому для квантовой частицы нельзя одновременно точно определить значения ее координат и импульса. Если частица занимает точно определенное положение в пространстве, то ее импульс полностью неопределен и наоборот, частица с определенным импульсом имеет полностью неопределенную координату. Неопределенность в значении координаты частицы  $\Delta x$  и неопределенность в значении компоненты импульса частицы  $\Delta p_x$  связаны соотношением неопределенности, установленным В. Гейзенбергом в 1927 году.

$$\Delta x \cdot \Delta p_x \approx \hbar$$

Из принципа неопределенности следует, что в области квантовых явлений неправомерна постановка некоторых вопросов, вполне естественных для классической физики. Так, например, не имеет смысла говорить о движении частицы по определенной траектории. Необходим принципиально новый подход к описанию физических систем. Не все физические величины, характеризующие систему, могут быть измерены одновременно. В частности, если время жизни некоторого состояния равно  $\Delta t$ , то неопределенность величины энергии этого состояния  $\Delta E$  не может быть меньше  $\Delta E / \hbar$ .

$$\Delta E \cdot \Delta t \approx \hbar$$

**Нобелевская премия по физике**

**1932 г. - В. Гейзенберг.**

За создание квантовой механики

# Волновая функция

В квантовой физике состояние системы описывается волновой функцией. Так как для квантовой частицы нельзя одновременно точно определить значения ее координат и импульса, то не имеет смысла говорить о движении частицы по определенной траектории в пространстве можно определить только вероятность нахождения частицы в данной точке в данный момент времени, которая определяется квадратом модуля волновой функции —

$$W \sim |\psi(x, y, z, t)|^2 dV$$

**Нобелевская премия по физике**

**1954 г. – М. Борн**

За фундаментальные исследования в квантовой механике, в особенности за статистическую интерпретацию волновой функции

# Основной постулат квантовой механики

Обозначим действие оператора  $\hat{f}$  на волновую функцию  $\psi$  ( $\hat{f}\psi$ ). Определение оператора  $\hat{f}$  состоит в том, что интеграл от произведения ( $\hat{f}\psi$ ) на комплексно сопряженную функцию  $\psi^*$  даёт среднее значение величины  $\bar{f}$ .

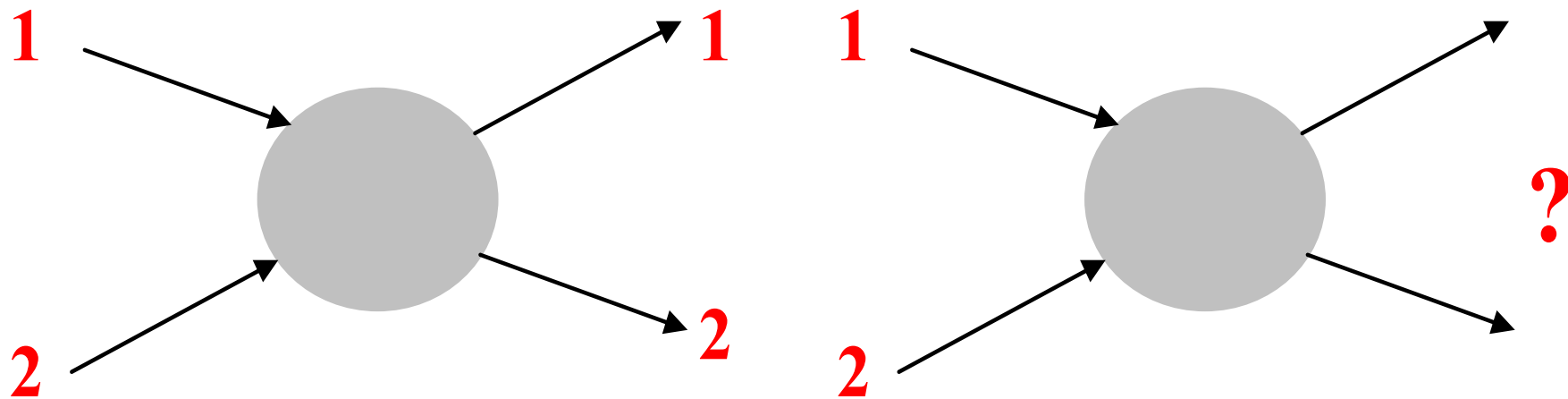
$$\bar{f} = \int \psi^* \hat{f} \psi dx$$

Это основной постулат квантовой механики.

Все свойства физической системы полностью определяются заданием её волновой функции.

Экспериментально измеряемые средние значения любой физической величины  $f$ , характеризующей систему, может быть вычислено по известной волновой функции  $\psi$ .

# Статистика



## Принцип тождественности частиц

Волновая природа микрочастиц не позволяет установить, какая из возможностей реализуется в ситуации, когда две тождественные частицы оказываются друг от друга на расстоянии де-бройлевской длины волны.

# Различие между классической и квантовой статистиками

Две частицы 1, 2. Два различных одночастичных состояния  $\psi_n \psi_m$

## Классическая статистика

1. Обе частицы в состоянии  $\psi_n$   $\psi_n(1)\psi_n(2)$
2. Обе частицы в состоянии  $\psi_m$   $\psi_m(1)\psi_m(2)$
3. Первая частица в состоянии  $\psi_n$ , вторая – в  $\psi_m$   $\psi_n(1)\psi_m(2)$
4. Первая частица в состоянии  $\psi_m$ , вторая – в  $\psi_n$   $\psi_m(1)\psi_n(2)$

## Статистика Ферми. Антисимметричная волновая функция

Одна частица находится в состоянии  $\psi_n$ , другая – в  $\psi_m$  и наоборот

$$\psi_{asim} = \psi_n(1)\psi_m(2) - \psi_m(1)\psi_n(2)$$

## Статистика Бозе-Эйнштейна. Симметричная волновая функция

1. Обе частицы в состоянии  $\psi_n$   $\psi_n(1)\psi_n(2)$
2. Обе частицы в состоянии  $\psi_m$   $\psi_m(1)\psi_m(2)$
3. Одна из частиц в состоянии  $\psi_n$ , другая – в  $\psi_m$  и наоборот

$$\psi_{sim} = \psi_n(1)\psi_m(2) + \psi_m(1)\psi_n(2)$$

# Фермионы. Бозоны. Принцип Паули.

Частицы с целым (в том числе с нулевым) спином подчиняется статистике Бозе-Эйнштейна ( $\gamma$ -кванты,  $\pi$ -мезоны,  $\alpha$ -частицы и др.). Частицы с целым спином называются **бозонами**. Частицы с полуцелым спином подчиняются статистике Ферми-Дирака (электроны, кварки, нейтрино, протоны, нейтроны, ядра с нечётным числом нуклонов и т.д.). Частицы и ядра с полуцелым спином называются **фермионами**.

Для тождественных фермионов справедлив принцип Паули.

**Принцип Паули: в системах, подчиняющихся статистике Ферми-Дирака и описываемых антисимметричными волновыми функциями, не должно существовать двух тождественных частиц с полностью совпадающими характеристиками.**

Для системы тождественных фермионов

$$\psi(2, 1, \dots, A) = -\psi(1, 2, \dots, A).$$

Если частицы 1 и 2 находятся в одинаковом состоянии, тогда  $\psi(2,1,\dots,A)$  и  $\psi(1,2,\dots,A)$  одна и та же функция и  $\psi = -\psi$ ,  $2\psi = 0$ ,  $\psi = 0$ , т. е. такое состояние не существует.

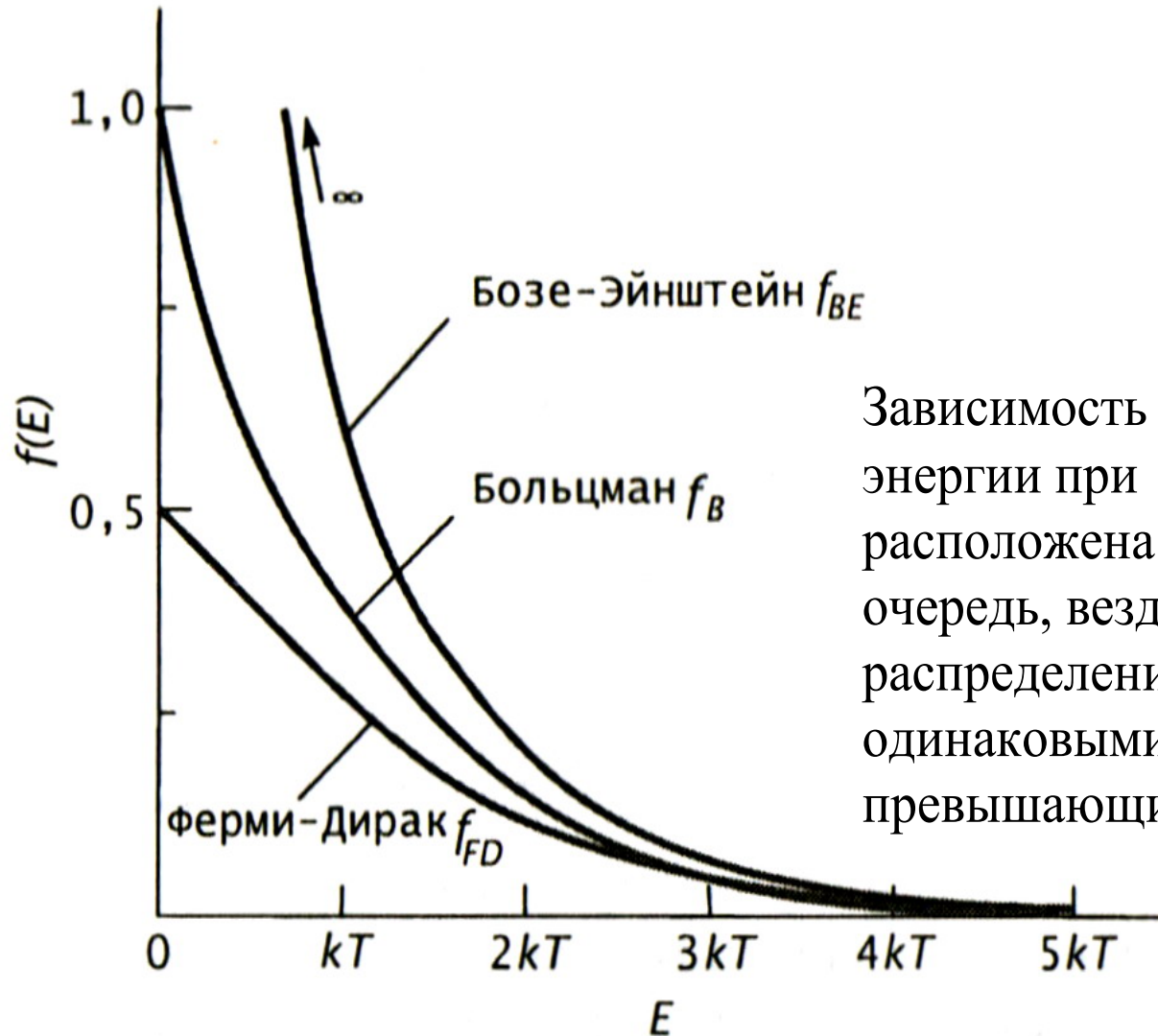
Принцип Паули определяет строение электронных оболочек атомов, заполнение нуклонных состояний в ядрах.

**Нобелевская премия по физике**

**1945 г. – В. Паули.**

За открытие принципа Паули

# Распределения Больцмана $f_B$ , Ферми-Дирака $f_{FD}$ , Бозе-Эйнштейна $f_{BE}$



$$f_B = \frac{1}{e^\alpha e^{E/kT}}$$

$$f_{BE} = \frac{1}{e^\alpha e^{E/kT} - 1}$$

$$f_{FD} = \frac{1}{e^\alpha e^{E/kT} + 1}$$

Зависимость распределений  $f_B$ ,  $f_{BE}$  и  $f_{FD}$  от энергии при  $\alpha = 0$ . Кривая  $f_{BE}$  расположена выше  $f_B$ , которая, в свою очередь, везде превышает  $f_{FD}$ . Все распределения становятся примерно одинаковыми и сливаются при энергиях, превышающих примерно  $5kT$ .

## Классическая физика

## Квантовая физика

### 1. Описание состояния

$(x, y, z, p_x, p_y, p_z, t)$

$\psi(x, y, z, t)$

### 2. Изменение состояния во времени

$$\frac{d\vec{r}}{dt} = \frac{dH}{d\vec{p}}, \quad \frac{d\vec{p}}{dt} = -\frac{dH}{d\vec{r}}$$

$$i\hbar \frac{d\Psi}{dt} = \hat{H}\Psi$$

### 3. Измерения

$x, y, z, p_x, p_y, p_z$

$$\Delta x \cdot \Delta p_x \approx \hbar$$

$$\Delta y \cdot \Delta p_y \approx \hbar$$

$$\Delta z \cdot \Delta p_z \approx \hbar$$

### 4. Детерминизм

Динамическое  
(не статистическое) описание

### 4. Статистическая теория

$$|\psi(x, y, z, t)|^2$$

$$\langle F \rangle = \int \Psi^* \hat{F} \Psi dV$$

### 5. Гамильтониан

$$H = E + U(x, y, z) = \frac{\vec{p}^2}{2m} + U(x, y, z)$$

$$\hat{H} = \hat{E} + \hat{U}(x, y, z) = \frac{\hat{p}^2}{2m} + \hat{U}(x, y, z)$$